

момент сопротивления качению шины 25x11-12 по сравнению с шиной 25x12-10 можно объяснить большими потерями на деформацию грунта из-за большей ширины беговой дорожки и больших удельных давлений в пятне контакта.

Таблица 6

Значения крюкового усилия и коэффициента сцепления при буксовании $\delta = 30\%$, регламентированным ГОСТ 7057-81

Шина	Нагрузка, кН	Давление P_w , МПа	Показатели при $\eta_{max} \Pi$			Зона F_k при $\eta = 0,8 * \eta_{max}$, кН	F_{kmax} , кН	φ_{max}	M_f , кН м	F_f , кН	При $\delta = 30\%$, кН	
			η_{max}	F_k , кН	δ , %						F_k , кН	φ
25x11-12	0,85	0,03	0,55	0,304	16,6	0,21;0,36	0,529	0,619	0,06	0,220	0,36	0,423
	1,35	0,04	0,58	0,555	18,8	0,3;0,71	1,001	0,74	0,087	0,324	0,68	0,503
25x12-10 Данлоп	0,85	0,015	0,61	0,374	16,8	0,17;0,42	0,588	0,69	0,053	0,176	0,41	0,482
	1,35	0,02	0,63	0,623	18,9	0,25;0,77	0,973	0,72	0,076	0,250	0,7	0,518
22x8-10 Данлоп	0,85	0,015	0,57	0,31	17	0,2;0,37	0,493	0,58	0,046	0,177	0,37	0,435
	1,35	0,035	0,56	0,50	17,4	0,28;0,57	0,87	0,64	0,071	0,272	0,57	0,422

Таким образом, приведенные экспериментальные исследования по оценке жесткостных показателей и тягово-сцепных свойств, на твердом и деформируемом основании отечественной 25x11-12 и зарубежных 25x12-10, 22x8-10 шин показали, что отечественная шина существенно уступает зарубежным по эластичности и обладает худшими тягово-сцепными свойствами на твердом и деформируемом основаниях.

Литература

1. Отчет НАТИ «Разработка и внедрение комплексных методов исследования характеристик шин». Москва.1978 г. Арх. № 21142. ВНИИЦ № Б721227.

Влияние ведущего режима качения колеса на формирование опорной поверхности движения

к.т.н. доц. Сергеев А.И.
МГТУ «МАМИ»
(495) 223-05-23 доб. 1527

Аннотация. В статье рассматривается влияние плоского движения колеса в ведущем режиме на формирование опорной поверхности движения. На основе разработанной математической модели определяется передаточная функция, учитывающая связь выходных и входных параметров, а также амплитудно-частотных и фазочастотных характеристик движения системы «колесо-опорная поверхность». Работа выполнена в рамках реализации ФЦП «Научные и научно-педагогические кадры инновационной России».

Ключевые слова: колесо, режим качения, опорная поверхность, передаточная функция, амплитудно-частотная характеристика, фазочастотная характеристика

Плоское движение колеса представляет сложное физико-механическое явление, совершаемое под действием одного или нескольких силовых факторов. В общем случае плоское движение может быть представлено параметрическими уравнениями (1)

$$X_0 = f_1(t); Z_0 = f_2(t); \varphi = f_3(t). \quad (1)$$

Эти уравнения представляют плоское движение колеса, при котором величины X_m, Z_m, φ , меняются с течением времени [1]. Поэтому они являются однозначными, непрерывными и дифференцируемыми функциями.

В рассматриваемой схеме (рисунок 1) реализуется система с тремя степенями свободы,

которая может иметь три обобщенные координаты q_1, q_2, φ . Точка M колеса при плоскопараллельном движении в неподвижной плоскости OXZ однозначно может быть представлена радиус – вектором \vec{r} , который определяется из векторного треугольника OPM (рисунок 1):

$$\vec{r} = \vec{r}_1 + \vec{r}_2. \quad (2)$$

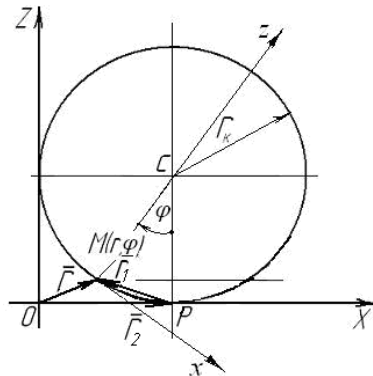


Рисунок 1 – Схема плоского движения колеса в ведущем режиме качения

Для каждого момента времени t из уравнений (1) можно определить соответствующие значения X_M, Z_M, φ и, следовательно, положение точки M относительно неподвижных осей координат OXZ .

Спроектируем векторное равенство (2) на неподвижные оси координат. Тогда, исходя из геометрических соображений, координаты точки M представляются уравнениями (3):

$$\begin{aligned} X_M &= X_0 + x \cos \varphi - z \sin \varphi, \\ Z_M &= Z_0 + z \sin \varphi + x \cos \varphi. \end{aligned} \quad (3)$$

Координаты X_0, Z_0, φ известны по уравнениям (1) и, следовательно, положение точки M однозначно определяется тремя величинами: X_M, Z_M, φ и, таким образом, в общем случае, при плоско-параллельном движении точка M , принадлежащая ободу колеса, будет иметь три степени свободы.

Зависимости (3) в общем случае представляют уравнения движения точки M или параметрические уравнения её траектории.

Из уравнений (3) можно определить модуль и направление вектора скорости и ускорения:

$$\begin{aligned} \bar{\vartheta} &= |\bar{\vartheta}| = \sqrt{\vartheta_x^2 + \vartheta_z^2} = \sqrt{\dot{x}^2 + \dot{z}^2}, \\ \cos(\bar{\vartheta} \wedge i) &= \frac{\vartheta_x}{\vartheta} = \frac{\dot{x}}{\sqrt{\dot{x}^2 + \dot{z}^2}}, \\ \cos(\bar{\vartheta} \wedge k) &= \frac{\vartheta_z}{\vartheta} = \frac{\dot{z}}{\sqrt{\dot{x}^2 + \dot{z}^2}}. \end{aligned}$$

По аналогии запишем для модуля и направления вектора ускорения:

$$\begin{aligned} \bar{\omega} &= |\bar{\omega}| = \sqrt{\omega_x^2 + \omega_z^2} = \sqrt{\ddot{x}^2 + \ddot{z}^2}, \\ \cos(\bar{\omega} \wedge i) &= \frac{\omega_x}{\omega} = \frac{\ddot{x}}{\sqrt{\ddot{x}^2 + \ddot{z}^2}}, \\ \cos(\bar{\omega} \wedge k) &= \frac{\omega_z}{\omega} = \frac{\ddot{z}}{\sqrt{\ddot{x}^2 + \ddot{z}^2}}. \end{aligned}$$

Таким образом, зная закон криволинейного движения точки M (уравнения (1)), можно в каждый момент времени определить не только положение относительно выбранной системы координат, но основные кинематические характеристики.

Применяя векторно-матричную форму записи (3) с учетом (2), можно записать в виде:

$$\vec{r} = \vec{r}_1 + A\vec{r}_2, \quad (4)$$

где:

$$\vec{r} = \begin{pmatrix} r_1 \\ r_2 \end{pmatrix}, \quad \vec{r}_1 = \begin{pmatrix} r_1^{(1)} \\ r_1^{(2)} \end{pmatrix}, \quad \vec{r}_2 = \begin{pmatrix} r_2^{(1)} \\ r_2^{(2)} \end{pmatrix}, \quad A = \begin{pmatrix} \cos \varphi & -\sin \varphi \\ \sin \varphi & \cos \varphi \end{pmatrix}. \quad (5)$$

Из (4) следует:

$$\varphi = \frac{1}{2} \left(\arccos \frac{r_1 - r_1^{(1)}}{\sqrt{r_2^{(1)2} + r_2^{(2)2}}} + \arccos \frac{r_2 - r_1^{(1)}}{\sqrt{r_2^{(1)2} + r_2^{(2)2}}} \right). \quad (6)$$

Формирование опорной поверхности при плоском движении колеса сопровождается выдавливанием связанной влаги и газо-воздушной смеси в результате переупаковки частиц грунта. При этом происходит возникновение упругих сил и моментов, определяющих характеристику траектории деформации и сил вязкого трения (рисунок 2).

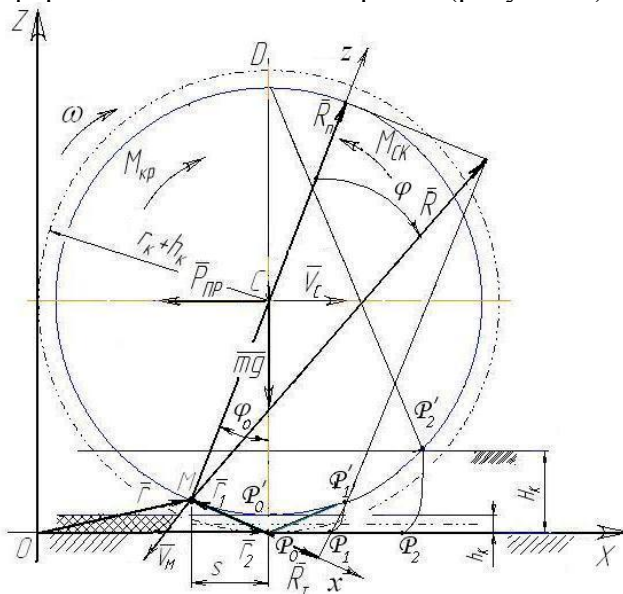


Рисунок 2 – Расчётная схема формирования опорной поверхности в ведущем режиме

Для качественной оценки параметров ведущего режима качения определим передаточную функцию системы “колесо-опорная поверхность”, устанавливающую связь между выходными и входными параметрами явления формирования опорной поверхности в ведущем режиме качения. В этом случае структурная схема будет иметь вид (рисунок 3).

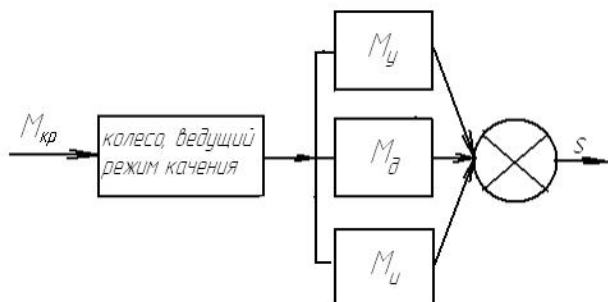


Рисунок 3 – Структурная схема формирования опорной поверхности колесом в ведущем режиме

В соответствии со схемой (рисунок 3), учитывающей действие упругого, демпфирующего и инерционного моментов, составим уравнение действующих моментов при формировании колесом опорной поверхности.

$$M_{кр} = M_y + M_\delta + M_u. \quad (5)$$

Упругий момент будет равен:

$$M_y = C_{жс} \varphi, \quad (6)$$

Демпфирующий момент

$$T\dot{M}_\delta + M_\delta = K_\delta \dot{\varphi}, \quad (7)$$

Инерционный момент

$$M_u = J\ddot{\varphi}, \quad (8)$$

где: $C_{жс}$ – приведенная угловая жесткость, [Нм/рад];

T – постоянная времени, сек;

K_δ – приведенный коэффициент углового демпфирования Нмсек;

J – приведенный момент инерции подвижной системы кгм².

Совместное решение уравнений (5,6,7,8) приводит к общему дифференциальному уравнению (9):

$$TJ\ddot{\varphi} + J\ddot{\varphi} + (K_\delta + TC_{жс})\dot{\varphi} + C_{жс}\varphi = T\dot{M}_{кр} + M_{кр}, \quad (9)$$

откуда передаточная функция равна:

$$W(p) = \frac{\varphi(p)}{M_{кр}(p)} = \frac{Tp + 1}{TJp^3 + Jp^2 + (K_\delta + TC_{жс})p + C_{жс}} \quad (10)$$

Приведенная угловая жесткость определяется, из уравнения баланса работ,

$|M_y|d\varphi = \sum_{i=1}^n |F_{yi}|ds_i + \sum_{j=1}^m |M_{yj}|d\varphi_j$ и после преобразований равна:

$$C_{жс} = \sum_{i=1}^n c_i \left(\frac{ds_i}{d\varphi} \right)^2 + \sum_{j=1}^m C_j \left(\frac{d\varphi_j}{d\varphi} \right)^2,$$

где: n – количество элементарных упругих сил;

m – количество элементарных упругих моментов;

$ds_i, d\varphi_j$ – элементарные линейные и угловые перемещения упругих сил \overline{F}_{yi} и моментов M_{yj} ;

K_δ – приведенный момент углового демпфирования, также определяемый из уравнения баланса работ:

$$M_\delta d\varphi = \sum_{i=1}^n F_{\delta i} ds_i + \sum_{j=1}^m M_{\delta j} d\varphi_j, \quad (11)$$

откуда приведенный демпфирующий момент равен:

$$M_\delta = \sum_{i=1}^n F_{\delta i} \frac{ds_i}{d\varphi} + \sum_{j=1}^m M_{\delta j} \frac{d\varphi_j}{d\varphi}. \quad (12)$$

Приведенный коэффициент углового демпфирования запишем в виде:

$$K_\delta = \sum_{i=1}^n k_i \left(\frac{ds_i}{d\varphi} \right)^2 + \sum_{j=1}^m K_j \left(\frac{d\varphi_j}{d\varphi} \right)^2. \quad (13)$$

Модуль реакции опорной поверхности движения равен:

$$|R| = \sqrt{32x^2(z-b+p)^2 + 2 + \frac{(z-b+p)^2 16x^4 - p(z-b)[16x^2(z-b+p)^2 + 1]}{\sqrt{x^2 + p^2} \sqrt{x^2 + (z-b)^2}} + 1} =$$

$$= \sqrt{2} \sqrt{\frac{16x^2(z-b+p)^2 + (z-b+p)^2 16x^4 - p(z-b)[16x^2(z-b+p)^2 + 1]}{\sqrt{x^2 + p^2} \sqrt{x^2 + (z-b)^2}} + 1}. \quad (14)$$

Характеристики тягово-цепных показателей формирования опорной поверхности колесом в ведущем режиме представлены на рисунке 4.

Анализ рисунка 4 показывает, что увеличение крюковой нагрузки $P_{кр}$ мало влияет на величину углубления колеи, однако при этом растет величина крутящего момента $M_{кр}$, касательной силы тяги P_k , коэффициента сцепления $\varphi_{сц}$ и величины буксования δ .

КПД в интервале от 75 до 175 Н интенсивно возрастает, а при дальнейшем увеличении крюковой нагрузки уменьшается.

Амплитудно-частотная характеристика движения системы может быть определена по формуле:

$$u = \frac{1}{\sqrt{(1 - \gamma^2)^2 + 4\xi^2 \gamma^2}},$$

где: $\gamma = \frac{\delta}{\omega_0}$ - относительная частота; $\xi = \frac{k_\delta}{2\sqrt{JC_{жк}}}$ - степень успокоения вращающейся составляющей системы "колесо-опорная поверхность".

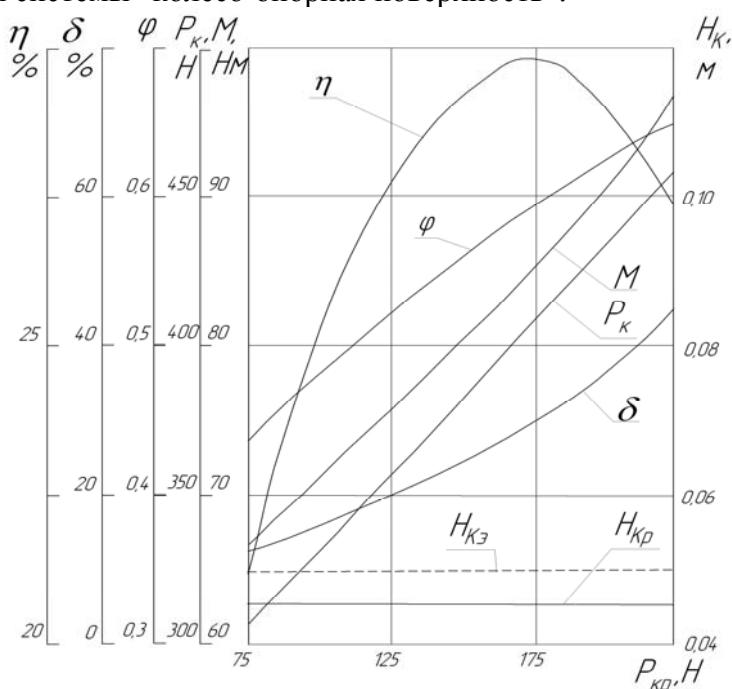


Рисунок 4 – Зависимость глубины колеи (H_k), крутящего момента (M), касательной силы тяги (P_k), коэффициентов сцепления ($\varphi_{сц}$), буксования (δ) и КПД (η) от крюковой нагрузки ($P_{кр}$) при формировании опорной поверхности колесом в ведущем режиме

Фазочастотную характеристику можно определить по выражению:

$$\varphi = -\arctg \frac{2\xi\gamma}{1-\gamma^2}.$$

Выводы

1. На основе разработанной математической модели формирования опорной поверхности в ведущем режиме качения колеса определена передаточная функция, устанавливающая связь между выходными входными параметрами системы “колесо-опорная поверхность”, позволяющая определять реакцию измерительной системы на внешнее воздействие со стороны опорной поверхности. После соответствующей обработки бортовым вычислительным комплексом вырабатывается управляющее воздействие на электропривод плавающего опорно-приводного устройства движителя перекачивающегося типа.
2. Амплитудно-частотные и фазочастотные характеристики позволяют адекватно представлять влияние ведущего режима качения на формирование опорной поверхности с учётом смещения системы.

Литература

1. Тарг С. М. Краткий курс теоретической механики. – М.: Наука, 1968. – 479 с.
2. Сергеев А.И., Чёрный И.В. Математическая модель формирования опорной поверхности движения колесом перекачивающегося типа. Известия МГТУ “МАМИ” № 2(6), 2008. с.74-78.

О соотношении моментов инерции ведущей и ведомой частей составного маховика со встроенным демпфером крутильных колебаний

к.т.н. доц. Соломатин Н.С., Зотов Е.М., Симонов Д.В.
Тольяттинский государственный университет
+7-8482-53-92-59, sns@tltu.ru

Аннотация. В статье приведены результаты исследования влияния на амплитуду крутящего момента на первичном валу коробки передач параметров демпфера крутильных колебаний составного маховика. Показано, что целесообразно устанавливать демпфер крутильных колебаний с минимальной жесткостью.

Ключевые слова: демпфер крутильных колебаний, трансмиссия автомобиля.

Для исследования влияния жесткости демпфера и соотношения моментов инерции ведущей и ведомой частей составного маховика двигателя со встроенным демпфером крутильных колебаний создана уточненная 6-и массовая динамическая модель трансмиссии автомобиля (рисунок 1) на основе представленной в работе [1].

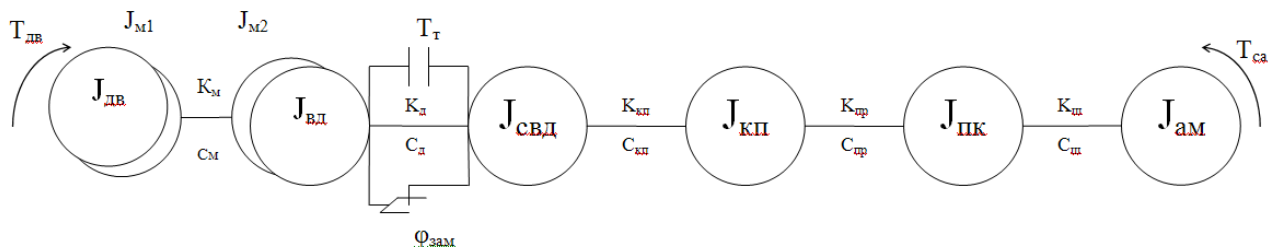


Рисунок 1 - Расчетная схема

где: $J_{\text{дв}}$ – приведенный к коленчатому валу момент инерции поступательно движущихся и вращающихся частей двигателя кроме маховика,

J_{M1} – момент инерции ведущей части составного маховика,

J_{M2} – момент инерции ведомой части составного маховика,